

## اثر چرخه‌های عملیات حرارتی بر ریزساختار و خواص مکانیکی یک فولاد کمآلیاژ تولیدی به روش تفجوشی لیزری

محمود اعظمی (دانشجوی دکتری)

دانشکده‌ی مهندسی برشکی، دانشگاه صنعتی امیرکبیر

عبدالرضا سیمچی (دانشیار)

دانشکده‌ی مهندسی و علم مواد، دانشگاه صنعتی شریف

در این پژوهش اثر چرخه‌های عملیات حرارتی بر روی یک فولاد کمآلیاژ تولیدی به روش تفجوشی لیزری مطالعه شده است، و چرخه‌های یکنواخت کردن، بازپخت آستینیتی، سخت کاری - بازگشت و عملیات ترکیبی مورد تحقیق قرار گرفته‌اند. همچنین آزمایش‌های سختی سنگی، استحکام پارگی عرضی و تجزیه و تحلیل ریزساختاری توسط میکروسکوپ نوری انجام شد. نتایج حاصل نشان داد که برای همگن‌سازی ریزساختار می‌باشد دمای آستینیت بیش از  $1000^{\circ}\text{C}$  باشد. با این وجود، دمای آستینیت  $900^{\circ}\text{C}$  -  $850^{\circ}\text{C}$  و زمان  $30$  دقیقه برای حصول سختی و استحکام مناسب کافی است. با عملیات حرارتی بازپخت آستینیتی (آستمپرینگ) در دمای پایین و سخت کاری - بازگشت در شرایط مناسب می‌توان استحکام فولاد تفجوشی شده را حدود  $5\%$  افزایش داد به طوری که کاهش سختی نسبتاً کم و حداکثر  $20\%$  باشد. نتایج به دست آمده از عملیات حرارتی ترکیبی حاکی از افزایش بیش از  $10\%$  درصدی استحکام پارگی عرضی و عدم تغییر میزان سختی نمونه‌ها نسبت به نمونه‌های عملیات حرارتی نشده بود. عملیات ترکیبی شامل یک مرحله نرم‌الله با دمای آستینیت در محدوده اتحلال کاربیدها و سپس چرخه‌های بازپخت آستینیتی و سخت کاری - بازگشت بوده است.

### مقدمه

مواد مختلفی مانند پلاستیک‌های مهندسی، الاستومرهای ترمопلاستیک (گامانز)، فلزات و سرامیک‌ها می‌توانند مورد استفاده قرار گیرند.<sup>[۷]</sup> ساخت مدل‌های ریخته‌گری دقیق، مفرز قالب‌های فلزی، قالب‌ها و ماهیچه‌های ریخته‌گری با ماسه از مهم‌ترین زمینه‌های کاربرد فرایند تفجوشی لیزری است.<sup>[۸]</sup> قابلیت این روش در تفجوشی پودر فلزات و سرامیک‌ها، آن را قادر به ساخت ابزاری همچون توپی و محفظه‌های قالب‌های تزریق پلاستیک یا قالب‌های ریخته‌گری تحت فشار آلومینیم ساخته است. بنابراین ارتقاء خواص مکانیکی حاصل از این محصولات بسیار حائز اهمیت است. در مورد قطعات فلزی، صرف‌نظر از جنس ماده و پارامترهای مورد استفاده در تفجوشی لیزری، عملیات حرارتی تأثیر به سزایی بر خواص مکانیکی دارد. این عملیات ممکن است با حذف حفره‌های باقی‌مانده از تفجوشی لیزری و نیز همگن‌سازی ریزساختاری همراه باشد.<sup>[۹]</sup>

در این پژوهش ریزساختار و خواص مکانیکی یک فولاد کمآلیاژ تولیدی به روش تفجوشی لیزری مورد مطالعه قرار گرفته است. با اعمال چرخه‌های مختلف عملیات حرارتی و انجام آزمایش‌های نظری سختی سنگی، اندازه‌گیری استحکام پارگی عرضی و مطالعات ریزساختاری اثر این عملیات بررسی و شرایط بهینه تعیین شد. از آنجا

نمونه‌سازی سریع<sup>[۱]</sup> (RP) یک فناوری نسبتاً جدید برای ساخت نمونه‌های فیزیکی و نمونه‌ی اولیه با استفاده از اطلاعات مدل سه‌بعدی طراحی شده به کمک رایانه، سی‌تی اسکن، و ام‌آر ای است.<sup>[۱]</sup> ایده‌ی اصلی RP قراردادن لایه‌های دقیق بر روی یکدیگر تارسیدن به شکل نهایی قطعه است. برخلاف فرایند تولید به روش کاهنده، مانند ماشین‌های CNC، در فرایند RP برای ساخت قطعات پیچیده مواد به صورت مایع، پودر یا ورق به هم متصل می‌شوند.<sup>[۲]</sup> ابزارسازی سریع یکی از مهم‌ترین زمینه‌های کاربردی RP است.<sup>[۴]</sup> در فرایندهای ساخت، قالب‌سازی یکی از کنترین و گران‌ترین مراحل تولید است که علت آن کیفیت بسیار بالای مورد نیاز، هندسه‌ی پیچیده قالب‌ها، دقت ابعادی در حد صدم میلی‌متر و سختی و مقاومت در برابر سایش بالا است. چون روش‌های متداول قالب‌سازی نظری CNC و روش تخلیه‌ی الکتریکی نسبتاً گران و زمان بر هستند، سازندگان تمایل زیادی به استفاده از روش‌های RP برای تسريع این مرحله از ساخت دارند.

یکی از روش‌های مهم نمونه‌سازی سریع روش تفجوشی مستقیم با لیزر است.<sup>[۵]</sup> در این فرایند، انرژی لیزر برای ایجاد پیوند بین ذرات پودر مواد و ساخت قطعات جامد با شکل پیچیده مورد استفاده قرار می‌گیرد.

توان  $W = 215$  و ضخامت لایه‌ی  $5\text{ mm}$  انجام شد. ترکیب فولاد مورد استفاده شامل (درصد وزنی) ۴ درصد نیکل، ۱ درصد مولیبدن، ۲ درصد مس و ۰/۸ درصد کربن بوده است. شایان ذکر است که این ترکیب از طریق مخلوط کردن پودرهای عنصری در یک مخلوط کن Turbula به مدت ۳۰ دقیقه حاصل شد.

پس از آماده‌سازی نمونه‌ها، چرخه‌های عملیات حرارتی بر روی آن‌ها صورت گرفت. این عملیات عبارت‌اند از: نرماله، بازپخت آستینیتی، سختکاری - بازگشت و عملیات ترکیبی یکنواخت‌کردن / بازپخت آستینیتی و یکنواخت کردن / سختکاری. شرایط انجام این عملیات در جدول ۱ ارائه شده است. پس از اعمال چرخه‌های عملیات حرارتی، آزمایش‌های مربوط به اندازه‌گیری خواص مکانیکی انجام شد. این آزمون‌ها اندازه‌گیری استحکام پارگی عرضی و سختی را شامل می‌شد. برای این منظور، در ابتدا نمونه‌ها سنگ زده شدند تا کاملاً صیقلی و آماده شوند. استحکام پارگی عرضی از طریق آزمایش خمس سه‌ نقطه‌بی (استاندارد MPIF ۴۱-۹۱ مطابق با ASTM E۳۸۰-۹۱) تعیین شد و فاصله‌ی محورهای تکه‌گاه برابر  $25\text{ mm}$  می‌باشد. سختی نمونه‌ها نیز توسط روش ویکرز با اعمال نیروی  $30\text{ kN}$  کیلوگرم اندازه‌گیری شد. ریزساختار نمونه‌ها نیز توسط میکروسکوپ نوری مورد مطالعه قرار گرفت. در این مورد از محلول نایتل ۲ درصد برای حکاکی استفاده شد. برای مطالعه‌ی ریزساختار از میکروسکوپ نوری استفاده شد.

که تأثیر عملیات حرارتی بر روی این نمونه‌ها با توجه به ترکیب جدید آن پیش از این تحقیق نشده است، پژوهش انجام شده، کاری نو در این راستا بوده است.

## روش تحقیق

نمونه‌های مورد استفاده در این پژوهش طی فرایند تف‌جوشی لیزری پودر فلزات ساخته شدند. دستگاه مورد استفاده شامل دو عدد لیزر  $CO_2$  با نور پیوسته و توان اسمی  $25\text{ W}$ ، عدسی‌های متمنک‌کننده، سیستم بازگیری پودر و رایانه‌ی کنترل کننده است. در این روش به‌منظور ساخت یک قطعه، ابتدا فایل 3D-CAD آن تهیه می‌شود. سپس اطلاعات توسط نرم‌افزار دستگاه به فایل لیتوگرافی سه‌بعدی (STL) تبدیل و در نهایت سطوح قطعه به لایه‌های نازکی در می‌آیند. فرایند ساخت با پخش یک لایه‌ی نازک از پودر ماده بر سطح سکوی دستگاه توسط یک جاروبک شروع می‌شود. سپس نور لیزر مطابق فایل STL بر بستر پودر تابیده می‌شود تا عملیات تف‌جوشی و اتصال ذرات صورت گیرد. پس از تکمیل یک لایه، سکوی دستگاه یک گام (معادل ضخامت یک لایه از فایل STL) به پایین رفته و محفظه‌ی بازگیری پودر یک گام به بالا حرکت می‌کند. عملیات پخش و لایه‌گذاری ماده توسط جاروبک تکرار شده و تابش نور لیزر علاوه بر تف‌جوشی ذرات پودر در لایه‌ی جدید، موجب اتصال لایه‌ها نیز می‌شود. با تکرار این عملیات محصول به صورت لایه به لایه ساخته می‌شود.<sup>[۱]</sup>

به‌منظور ساخت نمونه‌های مورد استفاده در این پژوهش، ابتدا توسط نرم‌افزار Pro/Engineer مدل یک قطعه مکعب مستطیل به ابعاد  $13 \times 8 \text{ mm} \times 40^\circ$  طراحی و نقشه‌کشی شد. سپس توسط رایانه‌ی کنترل کننده دستگاه، اطلاعات سطوح به صورت لایه‌های نازک به ضخامت  $5\text{ }\mu\text{m}$  درآمد. مخلوط پودر آهن با ابعاد کمتر از  $5\text{ }\mu\text{m}$  همراه با پودر کربن، مس، نیکل و مولیبدن در محفظه‌ی نگهدارنده ماده بازگیری و عملیات تف‌جوشی لیزری در سرعت  $100\text{ mm/s}$  انجام شد.

## نتایج و بحث

### الف) ریزساختار و خواص مکانیکی قطعات تف‌جوشی شده توسط لیزر

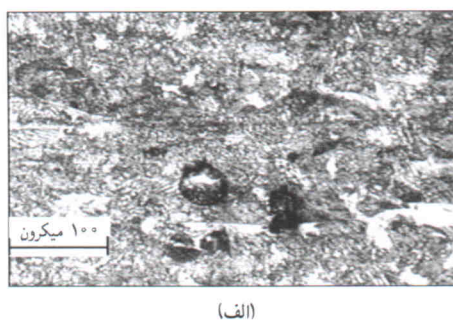
قبل از انجام هرگونه عملیات حرارتی، ریزساختار و خواص مکانیکی نمونه‌های تف‌جوشی شده مطالعه شد. شکل ۱ ریزساختار متالوگرافی این نمونه را در دو بزرگنمایی نشان می‌دهد. همان‌طور که در شکل

جدول ۱. شرایط عملیات حرارتی مختلف مورد استفاده در پژوهش. زمان مورد استفاده برای آستینیتی کردن  $30^\circ$  دقیقه، و برای بازپخت  $60^\circ$  دقیقه بوده است.

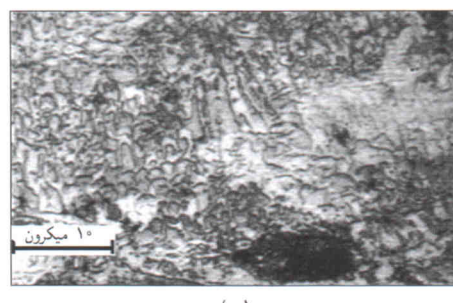
عملیات	شرح
نرماله	آستینیتی کردن در دماهای $780^\circ$ , $850^\circ$ , $900^\circ$ درجه سانتیگراد و سپس سرد کردن در هوا
بازپخت آستینیتی	بالانی: آستینیتی کردن در دماهای $850^\circ$ و $900^\circ$ درجه سانتیگراد، انتقال سریع به حمام نمک با دمای $400^\circ C$ و سپس سرد کردن در هوا پایینی: آستینیتی کردن در دماهای $850^\circ$ و $900^\circ$ درجه سانتیگراد، انتقال سریع به حمام نمک با دمای $300^\circ C$ و سپس سرد کردن در هوا
سرد کردن-گرم کردن	آستینیتی کردن در دماهای $850^\circ$ و $900^\circ$ درجه سانتیگراد، سرد کردن سریع در روغن و سپس بازپخت در دمای $450^\circ C$
عملیات‌های ترکیبی	عملیات نرماله با آستینیتی در دمای $C = 1050^\circ$ و سپس بازپخت آستینیتی بالانی با دمای آستینیتی $900^\circ C$ و سرمایش سریع در حمام نمک $400^\circ C$ عملیات نرماله با آستینیتی در دمای $C = 1050^\circ$ و سپس بازپخت آستینیتی پایینی با دمای آستینیتی $900^\circ C$ و سرمایش سریع در حمام نمک $300^\circ C$ عملیات یکنواخت کردن با آستینیتی در دمای $C = 1050^\circ$ و سپس سخت کاری - بازگشت با دمای آستینیتی $900^\circ C$ و کوره بازپخت $350^\circ C$

جدول ۲. نتایج حاصل از انجام عملیات همگن کردن بر نمونه‌های تف‌جوشی شده توسط لیزر.

دماهی آستینیته (MPa)	استحکام پارگی عرضی (HV <sub>20</sub> )	سختی (°C)
۱۰۳۵	۴۵۴	بدون عملیات حرارتی
۱۰۱۰	۲۵۲	۷۸۰
۱۰۲۰	۲۷۵	۸۵۰
۱۱۳۲	۲۸۴	۹۰۰
۱۰۵۱	۲۷۵	۹۲۵



(الف)



(ب)

شکل ۲. ریزساختار مربوط به نمونه‌های تف‌جوشی شده‌ی لیزری در دو بزرگنمایی مختلف. M: مارتنتیت، A: آستینیت و B: بینیت.

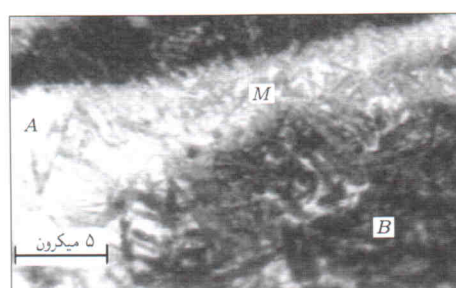
نمونه‌ها نسبت به نمونه‌ی تف‌جوشی شده به علت تعییر شکل کاربیدها، حذف فازهای سخت مانند مارتنتیت، و آزاد شدن تشنهای داخلی است. شایان ذکر است که در فرایند ساخت، به دلیل سرعت سرد شدن بالای قطعه، ایجاد تشنهای پسماند قطعی است. چنانچه در جدول ۲ مشاهده می‌شود دمای بینیت آستینیت کردن این فولاد از نقطه نظر بیشترین استحکام همراه با سختی مناسب در ۹۰۰°C است.

### ج) اثر عملیات بازپخت آستینیتی

این عملیات به دو صورت بازپخت آستینیتی بالایی و پایینی انجام شد. در عملیات بازپخت آستینیتی بالایی، دمای حمام نمک ۴۰۰°C و در عملیات بازپخت آستینیتی پایینی ۳۰۰°C بود. شرایط آستینیت کردن در جدول ۱ خلاصه شده است. اثر اعمال این عملیات برخواص مکانیکی نمونه‌های تف‌جوشی شده را می‌توان در جدول ۳ دید.



(الف)



(ب)

شکل ۱. ریزساختار مربوط به نمونه‌های تف‌جوشی شده‌ی لیزری در دو بزرگنمایی مختلف. M: مارتنتیت، A: آستینیت و B: بینیت.

مشاهده می‌شود لایه‌های ناشی از روش ساخت بهوضوح دیده می‌شوند. ریزساختار شامل مناطق مارتنتیت، مارتنتیت گرم شده، بینیت و آستینیت باقی مانده است که نشان از غیریکنواختی شدید ریزساختار دارد. دلیل این غیرهمگنی، استفاده از مخلوط پودرهای عنصری برای تهییه نمونه اولیه است. در فرایند تف‌جوشی لیزری به دلیل سرعت زیاد چرخه‌ی حرارتی، زمان لازم برای تفویض عناصر و همگنی ریزساختار وجود ندارد و بنابراین فازهای مختلف به وجود آمده‌اند. مطالعات قبلی صورت گرفته بر روی ریزساختار این مواد نشان داد که تغییرات نامنظم ریزساختی نسبت به عمق در مورد این فولاد وجود دارد.<sup>[۱۱]</sup> این موضوع مبین آن است که فازهای مختلف و ناهمگنی میکروسکوپی در این مواد حضور دارند. اما مقادیر متوسط درشت‌سختی و استحکام پارگی عرضی این نمونه‌ها به ترتیب برابر ۴۵۴ ویکرز و ۸۳۵ مگاپاسکال اندازه‌گیری شد.

### ب) اثر عملیات حرارتی همگن کردن

نتایج حاصل از عملیات حرارتی همگن کردن در شرایط مختلف بر سختی و استحکام فولاد مورد تحقیق در جدول ۲ ارائه شده است. از این اطلاعات چنین استنباط می‌شود که با انجام عملیات همگن کردن، سختی کاهش و استحکام نسبت به نمونه‌های اولیه افزایش یافته است (شکل ۲). ریزساختار قطعه پس از عملیات حرارتی نرماله در دمای ۹۰۰°C را نشان می‌دهد. در بزرگنمایی بیشتر ساختاری شامل کاربیدهای تقریباً کروی دیده می‌شود. لذا کاهش سختی این

استحکام پارگی عرضی بین این دو با توجه به شکل کاربیدها قابل توجیه است.

#### د) اثر عملیات سخت‌کاری-بازگشت

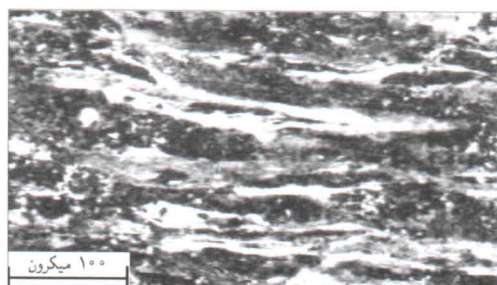
نتایج بدست آمده از این آزمایش در جدول ۴ و تصاویر ریزساختار برای یک نمونه در شکل ۴ آمده است. از این نتایج چنین دریافت می‌شود که استحکام قطعه انذکی کمتر از نتایج مربوط به بازپخت آستینیتی است ولی از نظر سختی افزایش نشان می‌دهد. به علاوه، سختی نمونه از مقدار مشابه خود در مورد نمونه تف‌جوشی شده بیشتر است. لذا می‌توان ادعا کرد که در این عملیات خواص مکانیکی جسم بهبود یافته است. در مورد ریزساختار، در بزرگنمایی پایین ساختار لایه‌یی ناشی از روش ساخت و در بزرگنمایی بالا کاربیدهای شکل گرفته در یک سو قابل مشاهده است (شکل ۴).

#### و) همگن‌سازی ریزساختار

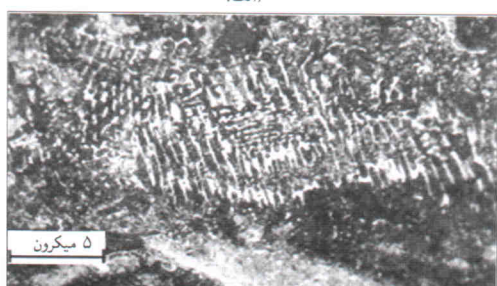
با توجه به این که ساختار نمونه‌ها بعد از آستینیتی کردن در  $900^{\circ}\text{C}$  همگن شده بود و خطوط لایه‌یی ناشی از روش ساخت (شکل ۱)

جدول ۴. نتایج حاصل از عملیات سخت‌کاری-بازگشت بر نمونه‌های تف‌جوشی شده توسط لیزر.

استحکام پارگی عرضی (MPa)	سختی (HV <sub>20</sub> )	دماهی آستینیتی و بازگشت ( $^{\circ}\text{C}$ )
۱۳۸۷	۴۲۲	۳۵۰ و ۸۵۰
۱۱۳۸	۴۹۰	۳۵۰ و ۹۰۰



(الف)

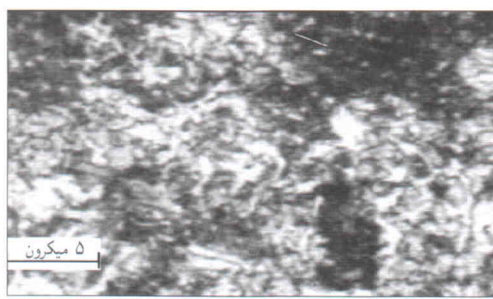


(ب)

شکل ۴. ریزساختار مربوط به نمونه‌ی سخت‌کاری-بازگشت داده شده در دماهی آستینیتی  $850^{\circ}\text{C}$  و بازگشت  $350^{\circ}\text{C}$  در دو بزرگنمایی مختلف.

جدول ۳. نتایج حاصل از انجام عملیات بازپخت آستینیتی بالایی و پایینی بر نمونه‌های تف‌جوشی شده توسط لیزر.

استحکام پارگی عرضی (MPa)	سختی (HV <sub>20</sub> )	دماهی آستینیتی و حمام نمک ( $^{\circ}\text{C}$ )
۱۴۶۳	۳۶۶	۳۰۰ و ۸۵۰
۱۴۳۶	۳۸۵	۳۰۰ و ۹۰۰
۱۴۴۱	۳۱۸	۴۰۰ و ۸۵۰
۱۳۶۸	۳۴۵	۴۰۰ و ۹۰۰

الف) حمام نمک  $300^{\circ}\text{C}$ :ب) حمام نمک  $400^{\circ}\text{C}$ :شکل ۳. ریزساختار نمونه‌های بازپخت شده با دماهی آستینیتی  $900^{\circ}\text{C}$ .

به طور کلی نتایج حاصل از عملیات بازپخت آستینیتی از نظر سختی و استحکام پارگی عرضی نسبت به عملیات نرم‌ماله بهتر بوده است. نتایج به دست آمده از بازپخت آستینیتی پایینی (حمام نمک  $300^{\circ}\text{C}$ ) از نظر سختی واستحکام نسبت به بازپخت آستینیتی بالایی (حمام نمک  $400^{\circ}\text{C}$ ) بهتر است. در شکل ۳ ریزساختار نمونه‌ها پس از عملیات حرارتی بازپخت آستینیتی نشان داده شده است. در این تصاویر مشاهده می‌شود که ریزساختار لایه‌یی تقریباً حذف شده است، اگرچه مناطق روشون هنوز در ساختار دیده می‌شود. ریزساختار این قطعات به صورت بینیتی است که بر حسب دما به صورت بینیت پایین برای بازپخت آستینیتی در  $300^{\circ}\text{C}$  و بینیت بالا برای بازپخت آستینیتی در  $400^{\circ}\text{C}$  است. به عبارت دیگر، نوع کاربیدهای شکل گرفته در آنها با یکدیگر متفاوت‌اند به طوری که در نمونه‌ی بازپخت شده در  $300^{\circ}\text{C}$  به صورت کاربیدهای نوک‌تیز و طریف و در مورد بازپخت آستینیتی در  $400^{\circ}\text{C}$  به صورت کاربیدهای کروی یا منحنی شکل است. لذا اختلاف اندک در میزان سختی و

جدول ۵. نتایج حاصل از انجام عملیات ترکیبی بر نمونه‌های تف‌جوشی شده توسط لیزر.

استحکام پارگی (MPa) عرضی	سختی ویکرز (HV <sub>20</sub> )	شرح عملیات
۱۶۱۳	۴۷۰	یکنواخت کردن با آستینیت در دمای $105^{\circ}C$ و سپس بازپخت آستینیت با دمای آستینیت $900^{\circ}C$ و سرمایش سریع در حمام نمک $300^{\circ}C$
۱۷۲۴	۳۷۵	یکنواخت کردن با آستینیت در دمای $105^{\circ}C$ و سپس بازپخت آستینیت با دمای آستینیت $900^{\circ}C$ و سرمایش سریع در حمام نمک $400^{\circ}C$
۱۷۶۳	۴۷۰	یکنواخت کردن با آستینیت در دمای $105^{\circ}C$ و سپس سختکاری - بازگشت با دمای آستینیت $900^{\circ}C$ و سرمایش سریع در روغن و کوره بازپخت $350^{\circ}C$ و سرمایش سریع در روغن و کوره بازپخت

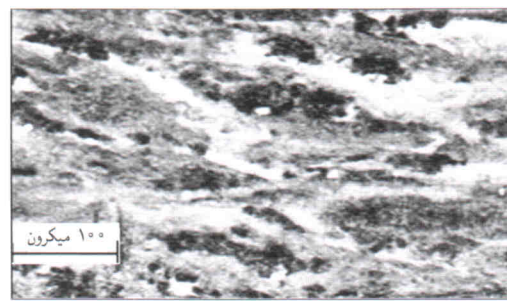
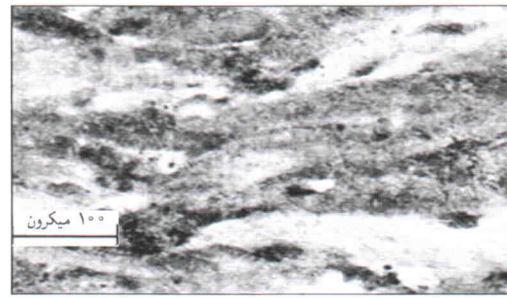
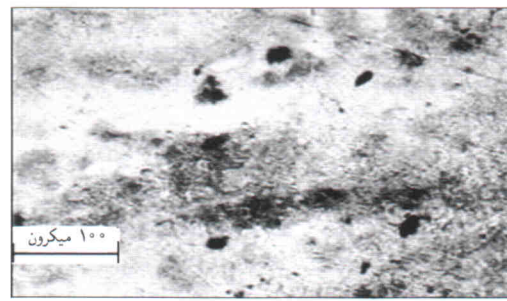
سانتی‌گراد تکرار شد. شکل ۵ ریزساختار این نمونه‌ها را نشان می‌دهد. از این شکل‌ها چنین دریافت می‌شود که با افزایش دمای آستینیت به تدریج ساختار همگن می‌شود به طوری که در دمای  $105^{\circ}C$  به ساختاری تقریباً همگن دست می‌یابیم.

#### ۵) عملیات حرارتی ترکیبی

این عملیات شامل اعمال دو چرخه‌ی عملیات حرارتی بر نمونه‌های مورد تحقیق بود. ابتدا عملیات یکنواخت کردن انجام شد و سپس عملیات بازپخت آستینیتی بالایی، بازپخت آستینیتی پایینی و سختکاری - بازگشت اعمال شد. هدف از انجام عملیات یکنواخت کردن، همگن‌سازی ساختار با توجه به اطلاعاتی است که در قسمت قبل ارائه شد. لذا عملیات یکنواخت کردن در دمای آستینیت  $105^{\circ}C$  به عنوان چرخه‌ی اولیه انجام شد. نتایج به دست آمده در این مورد در جدول ۵ ارائه شده است. نکته‌ی قابل توجه در این عملیات، افزایش قابل توجه استحکام است به طوری که در مقایسه با نمونه‌ی تف‌جوشی شده، افزایش دو برابری استحکام به دست آمد. در این میان، نمونه‌ی مربوط به چرخه‌ی نرماله و پس از آن سختکاری - بازگشت شده دارای بیشترین حد استحکام بودند. سختی نمونه‌ها نیز در حد  $470$  ویکرز اندازه‌گیری شد.

#### نتیجه‌گیری

در این پژوهش اثر چرخه‌های عملیات حرارتی بر روی یک فولاد کمآلیاژی تولیدی به روش تف‌جوشی لیزری مطالعه شد. نتایج حاصل نشان می‌دهند که ریزساختار فولاد تف‌جوشی شده بسیار ناهمگن و شامل فازهای مختلفی همچون مارنیزیت، مارنیزیت گرم شده، بینیت و آستینیت باقی‌مانده است. به منظور همگن‌سازی کامل ساختار می‌بایست عملیات حرارتی در  $110^{\circ}C$  انجام شود. انجام این عملیات سختی فولاد را به مقدار قابل توجهی کاهش می‌دهد ولی استحکام پارگی عرضی آن را زیاد می‌کند. با این وجود، می‌توان فولاد را در دمای

الف)  $1000^{\circ}C$ :ب)  $105^{\circ}C$ :ج)  $1100^{\circ}C$ :

شکل ۵. ریزساختارهای نمونه‌های نرماله شده پس از آستینیت در دماهای مختلف با هدف همگن‌سازی ریزساختار قطعه‌ی تف‌جوشی شده توسط لیزر.

در ریزساختار مشاهده می‌شد، عملیات همگن‌سازی قبل از عملیات حرارتی در دمای بالا انجام می‌شود. برای این منظور عملیات حرارتی یکنواخت کردن در سه دمای آستینیت  $1000$ ،  $1050$  و  $1100$  درجه

در  $1050^{\circ}C$  انجام شود و پس از سرد کردن فولاد در هوا، عملیات سختکاری-بازگشت در دمای آستینیتی  $900^{\circ}C$  و بازگشت در دمای  $350^{\circ}C$  انجام شود. تحت این شرایط می‌توان ضمن حفظ سختی فولاد، استحکام آن را  $10\%$  افزایش داد.

$900^{\circ}C$  آستینیتی کرد و با انجام چرخه‌های عملیات حرارتی یکنواخت کردن، بازپخت شده آستینیتی (بالایی یا پایینی) و سختکاری-بازگشت خواص مکانیکی فولاد را ارتقاء داد. بهترین شرایط برای عملیات حرارتی این فولاد زمانی به دست می‌آید که ابتدا عملیات همگن‌سازی

## پابلوش

1. rapid prototyping
2. stereolithography

## منابع

1. Wohlers, T., Rapid Prototyping and Tooling State of the Industry: Worldwide Progress Report 2000, Wohlers Associates, Inc., Fort Collins, Co. (2000).
2. Pham, P.T. and Dimov, S., "Rapid Manufacturing: The Technologies and Applications of Rapid Prototyping and Rapid Tooling", Springer Verlag, London (2001).
3. Atkinson, D., Rapid Prototyping and Tooling: A Practical Guide, Strategy Publication, Herts (1997).
4. King, D. and Tansey, T., "Alternative materials for rapid tooling", *J. Materials Processing Technology*, **121**, pp. 313-317 (2002).
5. Bourell, D.L., Marcus, H.L., Barlow, J.W. and Beaman, J.J., "Selective laser sintering of metals and ceramics", *Int. J. Powder Metallurgy*, **28**(4), pp. 369-381 (1992).
6. Haenninen, "DMLS moves from rapid tooling to rapid manufacturing", *Metal Powder Report*, pp. 25-29 (September 2001).
7. Dalgarno, K.W. and Wright, C.S., "Approaches to processing metals and ceramics through laser scanning of powder beds- a review", *Powder Metal Progress*, **1**(1), pp. 70-79 (2001).
8. Petzoldt, T., Greul, M. and Loffler, H., "Direct metal laser sintering: different applications different material concepts", *Advances in Powder Metallurgy & Particular Materials*, MPIF, Princeton, NJ., **2**(5), pp. 71-76 (1999).
9. Simchi, A., Petzoldt, F. and Pohl, H., "On the development of direct metal laser sintering for rapid tooling", *J. Materials Processing Technology*, **141**, pp. 319-328 (2003).
۱۰. سیمچی. عبدالرضا، «ارتباط بین ریزاساختار و سرعت چگالش با شرایط تولید در تفجوشی لیزری پودرهای آهنی»، نشریه علمی پژوهشی امیرکبیر، سال چهاردهم، شماره ب-۵۵، (تابستان ۱۳۸۲).
۱۱. سیمچی. عبدالرضا، «ساخت قالب‌های تزریق پلاستیک به روش تفجوشی لیزری پودرهای فولادی»، فصلنامه علمی پژوهشی شریف، سال نوزدهم (تابستان ۱۳۸۲).